

*Письма в ЖЭТФ, том 19, вып. 2, стр. 135 – 138 20 января 1974 г.*

## ТЕРМОУПРУГИЙ ЭФФЕКТ БЫСТРОЙ ЧАСТИЦЫ В ТВЕРДОМ ТЕЛЕ

*В.Д. Воловик, А.И. Калиниченко, В.И. Кобизской,  
В.Т. Лазурик-Эльциуфин*

Оценивается акустический импульс, возникающий в твердом теле от  $\gamma$ -кванта сверхвысокой энергии или от релятивистского многозарядного иона. Обсуждается возможность акустической регистрации одиночных  $\gamma$ -квантов и релятивистских многозарядных ионов.

В последнее время появился значительный интерес к регистрации  $\gamma$ -квантов [1] и поиску сверхтяжелых элементов [2] в составе первичных космических лучей.

В [3] была предложена методика акустической регистрации частиц сверхвысокой энергии, в принципе, применимая и в открытом космическом пространстве.

В настоящей работе мы приведем теоретические и экспериментальные оценки акустических эффектов в двух случаях: а) каскадирующей частицы сверхвысокой энергии, б) релятивистского многозарядного иона, и обсудим возможности их экспериментального обнаружения.

Охарактеризуем область существенного энерговыделения в треке или в электронно-фотонном каскаде радиусом  $R$ . За время электрон-ионной релаксации  $\tau_0 \sim 10^{-10} \div 10^{-9}$  сек в этой области устанавливается температурное поле, которое приводит к тепловому расширению среды и возбуждению цилиндрических акустических волн. Возникающие при этом термоупругие напряжения характеризуются объемной термоупругой силой

$$\mathbf{F}(\mathbf{r}, t) = -\Gamma \nabla P(\mathbf{r}, t), \quad (1)$$

где  $\Gamma$  – параметр Грюнайзена вещества мишени,  $P(\mathbf{r}, t)$  – плотность выделенной энергии.

Используя волновое уравнение для продольных колебаний среды

$$\frac{\partial^2 u(r, t)}{\partial t^2} - s_l^2 \Delta u(r, t) = \frac{F(r, t)}{\rho}, \quad (2)$$

получаем для максимума амплитуды акустического сигнала приближенное выражение

$$u_{max} \approx \frac{F}{\rho} \frac{R^2}{s_l^2} \sqrt{\frac{R}{r}}. \quad (3)$$

Здесь  $s_l$ ,  $\rho$  – продольная скорость звука и плотность вещества мишени,  $r$  – расстояние от оси трека или каскада до детектора акустических колебаний.

Оценим акустический эффект от электронно-фотонного каскада, образованного  $\gamma$ -квантом или электроном сверхвысокой энергии. Область основного энерговыделения каскада можно аппроксимировать цилиндром радиусом  $R = 5 \cdot 10^{-3} + 3 \cdot 10^{-2}$  см [4] и длиной  $L$ , которую можно вычислить, используя каскадную теорию ливня. Учет эффекта Ландау – Померанчука, увеличивающего при сверхвысоких энергиях пробег фотона [5], приводит лишь к перемещению всего каскада вглубь вещества не изменяя существенно величину  $L$ .

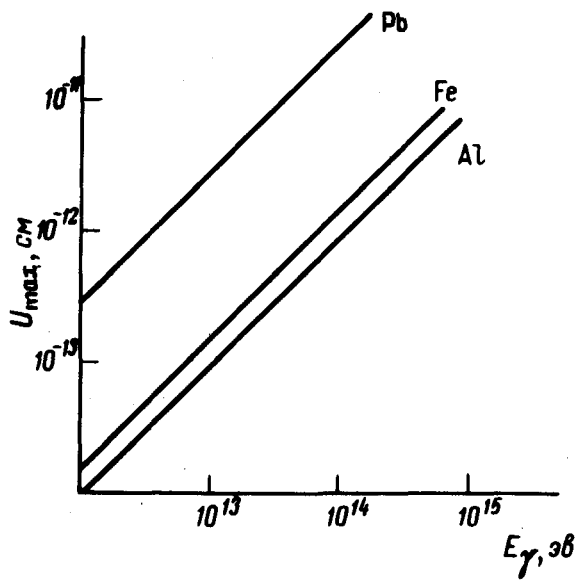


Рис. 1

Для свинцовой мишени и для  $E_\gamma = 10^{14}$  эВ получаем, используя (1), (3), величину акустического смещения  $u_{max} = (1,7 \div 4,4) \cdot 10^{-10}$  см. На рис. 1 приведена энергетическая зависимость амплитуды акустического сигнала для различных материалов при  $r = 10^2$  см.

Верхняя граничная частота  $\omega_{gr}$  акустического сигнала по порядку величины равна  $\omega_{gr} \approx s_l / R = (0,6 \div 4) \cdot 10^7$  сек $^{-1}$ . При таких частотах уже должно сказываться затухание звука в материале, поэтому в спектре приходящего сигнала будут присутствовать только гармоники  $\omega < \omega_{max}$ , где  $\omega_{max}$  – максимальная частота, пропускаемая трактом.

Для реальных материалов и  $r = 10^2 \text{ см}$ ,  $\omega_{max} \approx 3 \cdot 10^6 \text{ сек}^{-1}$ , поэтому в случае широкополосного детектора с полосой пропускания  $0 < \omega < \omega_{max}$  регистрируемый сигнал будет подавлен в  $\omega_{\text{гр}}/\omega_{max} \approx 2 \div 10$  раз. Анализ экспериментальных возможностей показывает, что минимальное смещение, которое можно измерить с использованием обычной методики, составляет величину  $u \approx 10^{-2} \text{ см}$ , что позволяет обнаружить акустический сигнал от каскадирующей частицы с энергией  $E_\gamma = 10^{14} \text{ эв}$  на расстояниях  $r \approx 2 \cdot 10^3 \text{ см}$ .

Оценим акустический эффект от ультраколлинистского многозарядного иона. Объемная термоупругая сила, возникающая при прохождении через вещество мишени заряженной частицы, по порядку величины, равна

$$F = \frac{\Gamma}{\pi R_0^3} \left( \frac{dE}{dx} \right)_{ion} \quad (4)$$

$(dE/dx)_{ion}$  – ионизационные потери частицы на единице пути. Радиус трека  $R$  заряженной частицы определяется диффузией  $\delta$ -электронов за время электрон-ионной релаксации  $\tau_0$ :

$$R_0 \approx \sqrt{D \tau_0}, \quad (5)$$

где  $D$  – коэффициент диффузии  $\delta$ -электронов. Оценка  $R_0$  дает, по порядку величины,  $10^{-4} \text{ см}$ . Принимая  $Z = 100$ ;  $\Gamma = 2,5$ ;  $s_l = 2 \cdot 10^5 \text{ см/сек}$ ,  $r = 10^2 \text{ см}$ ,  $(dE/dx)_{ion} = 2 \cdot 10^{11} \text{ эв/см}$ , получаем для максимума амплитуды акустического сигнала от быстрого иона величину  $u_{max} \approx 10^{-11} \text{ см}$ .

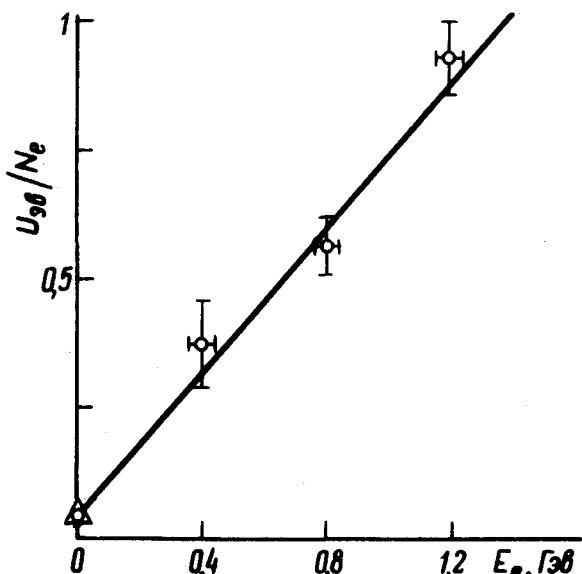


Рис. 2

Измерение зависимости амплитуды акустического сигнала от энергии электронного пучка  $E$ , проводилось на 2 Гэв линейном ускорителе ФТИ АН УССР. Пучок электронов ускорителя после магнитного анализатора проходил через монитор вторичной эмиссии, позволяющий измерять ток пучка, и попадал в свинцовую мишень с размерами  $20 \times 10 \times 5 \text{ см}^3$ . В центре малой грани мишени укреплялся пьезоэлектрический детектор механических напряжений, выполненный из керамики ЦТС-19 и имеющий приемную площадь  $6,75 \text{ см}^2$ . Пучок длительностью

$t_n = 10^{-6}$  сек с числом электронов в импульсе  $N_e = 10^5 \div 10^7$  направлялся в центр большой или средней грани мишени, возбуждая в ней акустические колебания. Диаметр пучка электронов  $d$  не превосходил 1 см на поверхности мишени. Электрический сигнал от пьезоакустического детектора усиливался широкополосным транзисторным детектором (средняя рабочая частота  $\sim 0,3$  МГц) и после эмиттерного повторителя подавался на вход внутреннего усилителя осциллографа ИО-4, ждущая развертка которого запускалась синхроимпульсом ускорителя. Измерения проводились при энергиях электронов  $E_\gamma = 0,4; 0,8; 1,2$  ГэВ, так что глубина области поглощения каскада существенно меньше, чем линейные размеры мишени.

На рис. 2 показана энергетическая зависимость амплитуды акустического сигнала, нормированной на один электрон. Сплошная линия, проведенная на графике, согласуется с предположением о линейной зависимости  $u/N_e \sim E_\gamma$ . С помощью этих измерений можно установить, что величина минимальной детектируемой этой аппаратурой энергии электрона порядка  $10^{14}$  эВ.

Экспериментальная оценка показывает, что при  $E_\gamma = 10^{14}$  эВ и  $r = 10$  см акустические смещения от одиночной частицы равны порогу аппаратуры  $u \approx 10^{-12}$  см. Теоретическая же оценка дает такие смещения уже при  $E_\gamma \approx 5 \cdot 10^{12}$  эВ. Различие объясняется некогерентностью сигналов от различных каскадов пучка в области высоких частот, что приводит к существенному подавлению сигналов с частотами  $\omega \gg s_1/d$ . Учет такого подавления высоких частот при экспериментальном определении минимальной детектируемой энергии частицы  $E_\gamma$  приводит к хорошему согласию с теоретической оценкой. Подчеркнем, что акустическая методика регистрации треков заряженных частиц удовлетворяет требованиям к трековой аппаратуре, выдвинутым в [2].

В заключение выражаем благодарность Б.И.Шраменко за всестороннюю помощь в проведении эксперимента.

Харьковский  
государственный университет  
им. А.М.Горького

Поступила в редакцию  
30 ноября 1973 г.

### Литература

- [1] В.Я.Гинзбург. УФН, 108, 273, 1972.
- [2] Г.Б.Жданов. УФН, 111, 109, 1973.
- [3] И.А.Боршковский, В.Д.Воловик, И.И.Залюбовский, В.И.Кобизской. Изв. АН СССР, сер. физ., 36, 1791, 1972.
- [4] В.В.Гужавин, И.П.Иваненко, Т.И.Рожкова. Изв. АН СССР, сер. физ., 36, 1774, 1972.
- [5] Л.Д.Ландау, И.Я.Померанчук. ДАН СССР, 92, 535, 1953.